

### 特点

- ➤ 兼容 ISO 11898-2:2016、SAE J2284-1 to SAE J2284-5 和 SAE J1939-14 标准
- ➤ AEC-Q100 Grade 1 认证
- ▶ 具有 CiA 601-4:2019 中定义的 CAN 信号改进能力,可显著降低网络中的信号振铃效应
- ▶ 低功耗休眠及待机模式
- ▶ 带远程唤醒功能以及本地唤醒功能
- ▶ 总线端口±58V 耐压
- ▶ ±30V接收器共模输入电压
- ▶ I/O 口支持 1.8V、3.3V 或 5V MCU
- ▶ 驱动器 (TXD) 显性超时功能

- ▶ VBAT、VCC 和 VIO 电源引脚上具有欠压保护
- ➤ 高速 CAN, 支持 8Mbps CAN With Flexible Data-Rate (灵活数据速率)
- ▶ -40℃至 150℃结温范围,且内置过温保护
- ▶ 高抗电磁干扰能力
- ▶ 未上电节点不干扰总线
- ▶ 提供 SOP14 和小引脚 DFN4.5×3-14 封装, DFN4.5×3-14 具有改进的自动光学检测 (AIO)能力

描述

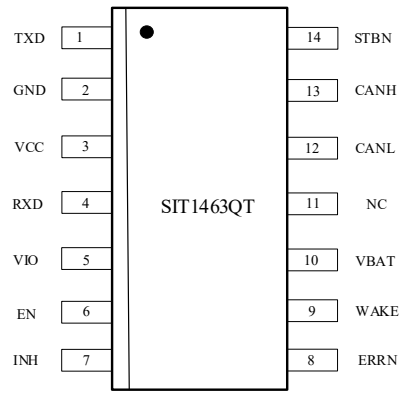
SIT1463Q 是一款应用于 CAN 协议控制器和物理总线之间的接口芯片,支持 8Mbps 灵活数据速率 (Flexible Data-Rate),具有在总线与 CAN 协议控制器之间进行差分信号传输的能力。SIT1463Q 具有 CiA 601-4:2019 中定义的 CAN 信号改善能力 (SIC)。CAN 信号的改善显著减少了网络中的信号振铃,使 CAN FD 通信能够在具有多个末端节点的大型网络中稳定运行。SIT1463Q 总线端口耐压可达-58V 至+58V,接收器共模输入电压达到-30V 至+30V。SIT1463Q 采用多电源供电,拥有多种系统保护和诊断功能以提高器件和 CAN 的稳定性。另外,SIT1463Q 拥有五种工作模式:正常工作模式、静音模式、待机模式、休眠模式和关断模式,在低功耗模式下支持本地唤醒与远程唤醒,所提供的低功耗模式管理可极大节省 CAN 总线应用系统的功耗。

应用领域:汽车和运输

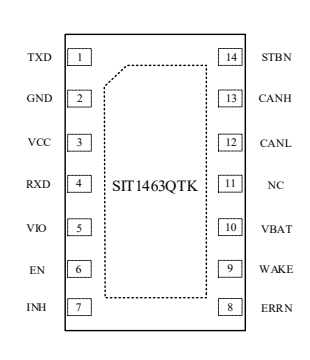
- ▶ 车身控制模块
- > 汽车网关
- ▶ 高级辅助驾驶系统(ADAS)
- ▶ 信息和娱乐



## 引脚分布图







DFN4.5×3-14 封装引脚

## 引脚定义

引脚序号	引脚名称	引脚功能
1	TXD	发送器数据输入端
2	GND	地
3	VCC	5V 总线供电电源
4	RXD	接收器数据输出端
5	VIO	I/O 口供电电源
6	EN	使能控制输入端
7	INH	用于控制外部稳压器的工作状态,发生唤醒事件后置为高电平
8	ERRN	错误指示输出端
9	WAKE	本地唤醒输入端口
10	VBAT	电池供电电源
11	NC	无连接
12	CANL	低电位 CAN 总线输入输出端
13	CANH	高电位 CAN 总线输入输出端
14	STBN	待机控制输入端



## 结构框图

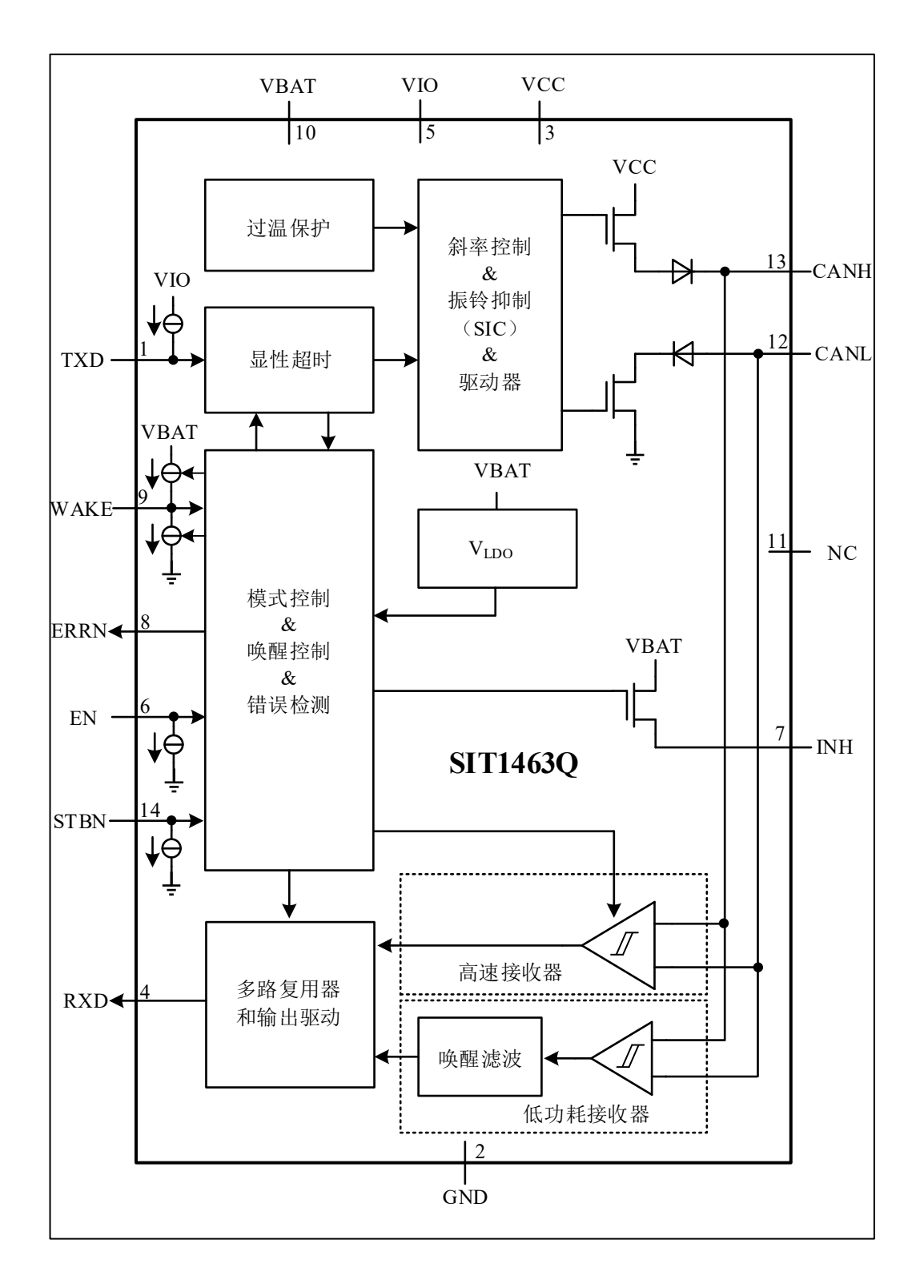


图 1 SIT1463Q 结构框图



## 建议工作状态

参数	符号	大小	单位
VBAT 供电电压	VBAT	4.5~40	V
VCC 供电电压	VCC	4.5~5.5	V
VIO 供电电压	VIO	1.7~5.5	V
逻辑输出引脚 高电平输出电流 (RXD&ERRN)	Ioh(logic)	>-2	mA
逻辑输出引脚 低电平输出电流 (RXD&ERRN)	I <sub>OL(LOGIC)</sub>	<2	mA
INH 输出电流	I <sub>O(INH)</sub>	<4	mA
环境温度	$T_{amb}$	-40~125	°C

## 极限参数

参数	符号	大小	单位
电池电源电压	VBAT	-0.3~45	V
总线供电电源电压	VCC, VIO	-0.3~7	V
MCU 侧端口	TXD, RXD, EN STBN, ERRN	-0.3~7	V
总线侧输入电压	CANH, CANL	-58~+58	V
本地唤醒引脚	WAKE	-45~45 和 -0.3~VBAT+0.3	V
使能输出	INH	-0.3~45 和 -0.3~VBAT+0.3	V
总线差分输入电压	V <sub>(CANH-CANL)</sub>	-58~58	V
存储温度范围	$T_{ m stg}$	-55~150	°C
结温	$T_{\rm j}$	-40~150	°C

最大极限参数值是指超过这些值可能会使器件发生不可恢复的损坏。在这些条件之下是不利于器件正常运作的,器件连续工作在最大允许额定值下可能影响器件可靠性,所有的电压的参考点为地。



## 热阻信息

符号	参数	测试条件	大小	单位
D	Junction-to-ambient	SOP14	91	V
$R_{ heta JA}$	thermal resistance	DFN4.5×3-14	36	V
D	Junction-to-case thermal	SOP14	42	V
$R_{ heta JC}$	resistance	DFN4.5×3-14	32	V

### 模式跳转

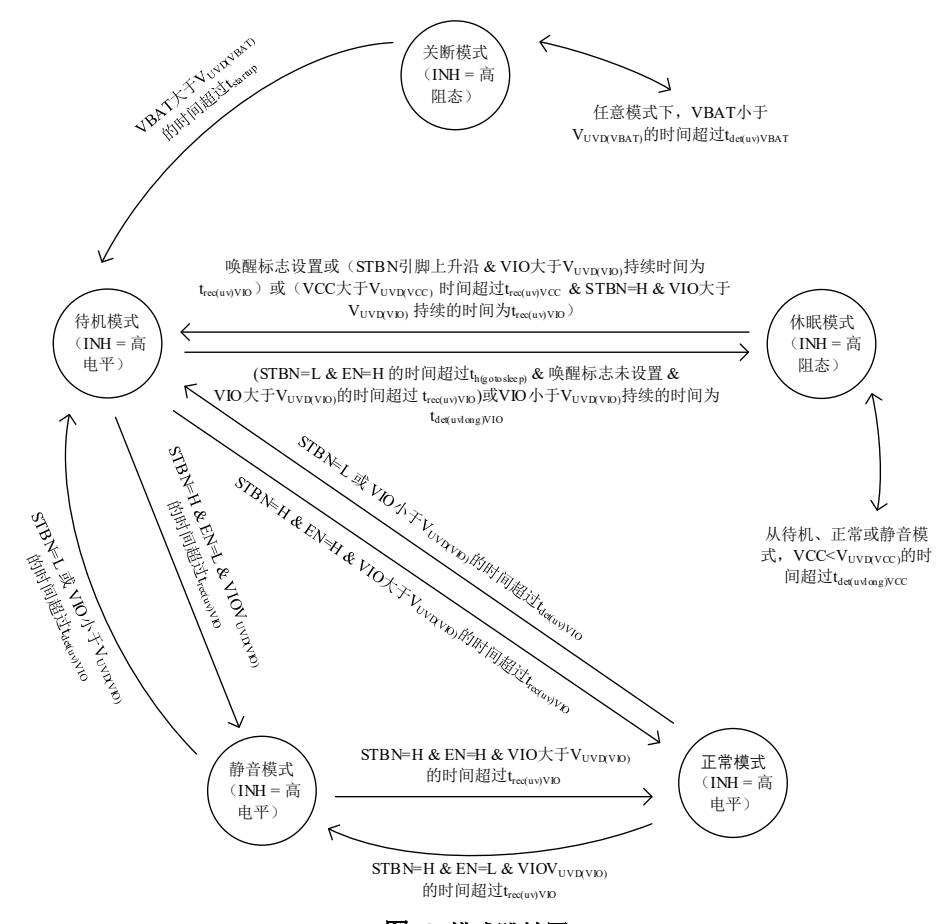


图 2 模式跳转图



### 系统工作模式

#### 正常模式

VCC、VIO 和 VBAT 电源正常供电,将 EN 和 STBN 都置为高电平,器件进入正常工作模式。在正常模式下,驱动器和高速接收器使能,驱动器将 TXD 上的数字输入信号转换为总线模拟电平,同时接收器监测总线电平并将其反映至 RXD。在正常工作模式下,INH 为高电平。

#### 静音模式

VCC、VIO 和 VBAT 电源正常供电,STBN 为高电平,将 EN 置为低电平,器件进入静音模式。静音模式也可称为只听模式或者只接收模式。在此模式下,驱动器禁能,高速接收器使能,CANH 与 CANL 的显隐性信号通过接收器反映至 RXD 端口,并且总线将被偏置到 0.5VCC,INH 被拉高。

#### 待机模式

特机模式是芯片的第一级低功耗模式。在待机模式下,INH 为高电平,驱动器和高速接收器禁能,低功耗接收器使能,器件仍可检测本地唤醒和远程唤醒事件。同时,芯片 VBAT 初始上电时,一旦 VBAT 电压超过  $V_{UVD(VBAT)}$ 的时间大于  $t_{startup}$ ,芯片将进入待机模式,INH 被拉高。

#### 休眠模式

休眠模式是功耗最低的一种工作模式。有三种方法可以进入休眠模式:

- ▶ VBAT 正常供电, VCC 欠压时间超过 tdet(uvlong)VCC;
- ▶ VBAT 正常供电, VIO 欠压时间超过 tdet(uvlong)VIO;
- ▶ 电源正常供电, EN 为高,将 STBN 置低,当 t>tgo-to-sleep 可进入休眠模式。

在睡眠模式下,驱动器和高速接收器禁能,低功耗接收器使能,输出端口 INH 处于高阻状态,可指示关闭外部稳压器,收发器与 MCU 的 VCC 电源将不可用,在此状态下,SIT1463Q 通过电池引脚 VBAT 保持供电,以此保证本地唤醒和远程唤醒的监测工作,出现首次唤醒事件后,INH将被拉高。

#### 关断模式

无论其它引脚是什么状态(比如 EN、STBN、VIO、VCC),一旦 VBAT 欠压时长超过 t<sub>det(uv)VBAT</sub>,器件即进入关断模式。在关断模式下,输出引脚 INH、ERRN、RXD 及总线引脚均处于高阻态。



### CAN 模式转换

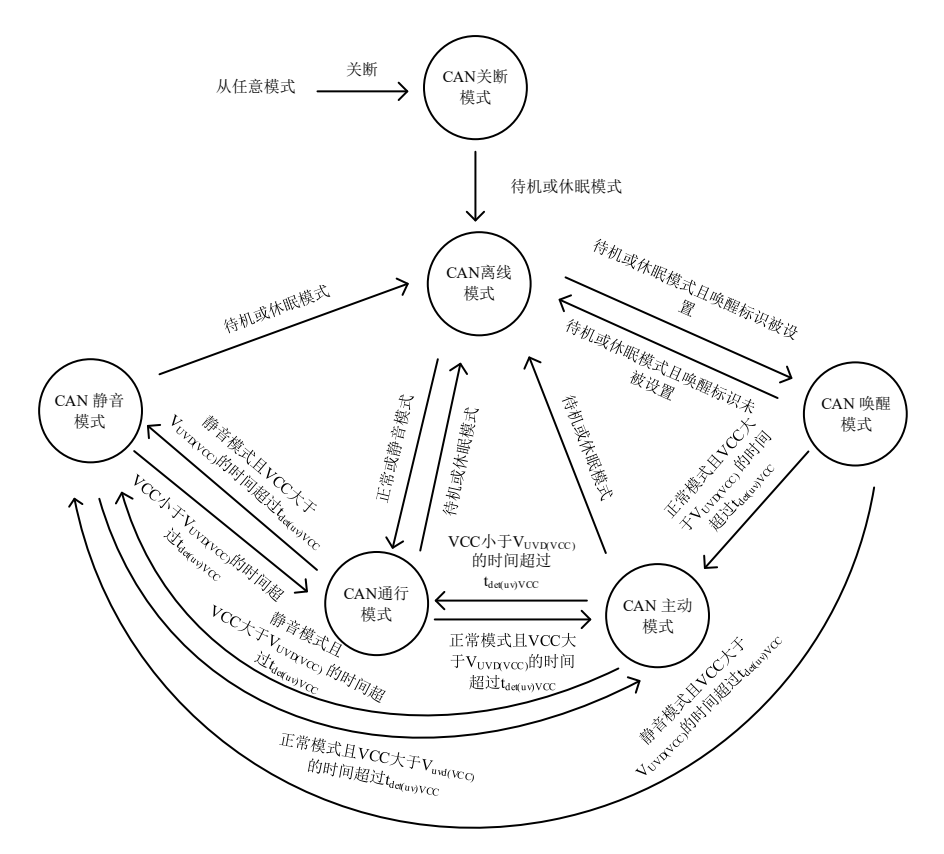


图 3 CAN 状态转换图

## CAN 工作模式

#### CAN 关断模式

当器件处于关断模式时,CAN 工作模式将进入 CAN 关断模式。 总线引脚和 RXD 处于高阻态。驱动器、低功耗接收器和高速接收器禁用。

#### CAN 离线模式

当器件处于休眠或待机模式且无唤醒标志时,CAN 工作模式将进入 CAN 离线模式。 总线引脚偏置到地,RXD 为高。驱动器和高速接收器禁用。低功耗接收器使能。在这种状态 下,收发器主要通过电池供电引脚 VBAT 进行供电,以此保证本地唤醒和远程唤醒的监控工作。

#### CAN 唤醒模式

当器件处于休眠或待机模式且无唤醒标志时, CAN 工作模式将进入 CAN 唤醒模式。 总线引脚偏置到地, RXD 为低。驱动器和高速接收器禁用。低功耗接收器使能。



#### CAN 通行模式

当器件处于正常或静音模式且 VCC 欠压时间少于 t<sub>det(uv)VCC</sub> 时, CAN 工作模式将进入 CAN 通行模式。

总线引脚偏置到地,高速接收器和驱动器禁用。低功耗接收器监控 CANH 和 CANL 的显隐信号并反映至 RXD。

#### CAN 主动模式

当器件处于正常模式且电源正常供电, CAN 工作模式将进入 CAN 主动模式。

总线引脚偏置到 VCC/2。驱动器和高速接收器处于完全工作状态,低功耗接收器关断。驱动器将 TXD 上的数字输入信号转换为总线模拟电平,同时接收器监测总线电平并将其反映至 RXD。在此模式下,TXD 需要出现高电平至低电平的跳变后,数据才能开始传输。

#### CAN 静音模式

当器件处于静音模式且电源正常供电, CAN 工作模式将进入 CAN 静音模式。

总线引脚偏置到 VCC/2。驱动器和低功耗接收器均关断,高速接收器使能。总线上的显隐信号通过高速接收器反映至 RXD。

## 功能模式表

VCC	VIO	VABT	EN	STBN	唤醒 标志	模式	驱动器	高速接 收器	低功耗 接收器	RXD	总线 状态	INH
正常	正常	正常	Н	Н	X	正常	使能	使能	禁能	跟随 总线	VCC/2	Н
正常	正常	正常	L	Н	X	静音	禁能	使能	禁能	跟随 总线	VCC/2	Н
正常	正常	正常	Н	L	清除	休眠	禁能	禁能	使能	Н	GND	Z
正常	正常	正常	Н	L	设置	待机	禁能	禁能	使能	L	GND	Н
正常	正常	正常	L	L	清除	待机	禁能	禁能	使能	Н	GND	Н
正常	正常	正常	L	L	设置	待机	禁能	禁能	使能	L	GND	Н
长时间 欠压	正常	正常	X	X	X	休眠	禁能	禁能	使能	Н	GND	Z
正常	长时间 欠压	正常	X	X	X	休眠	禁能	禁能	使能	Z	GND	Z
X	X	欠压	X	X	X	关断	禁能	禁能	禁能	Z	Z	Z

注: H=高电平; L=低电平; Z=高阻态; X=不关心。



# 驱动器状态表

工作模式	TXD 输入	总线	总线驱动状态	
工作模式	IAD 棚八	CANH	CANL	必线船纵伙心
工学提升	L	Н	L	显性
正常模式	H 或 Open	Z	Z	总线偏置到 VCC/2
静音模式	X	Z	Z	总线偏置到 VCC/2
待机模式	X	Z	Z	总线偏置到 GND
休眠模式	X	Z	Z	总线偏置到 GND
关断模式	X	Z	Z	高阻态

注: H=高电平; L=低电平; Z=高阻态; X=不关心。

## 接收器功能表

工作模式	总线差分输入 V <sub>OD</sub> =CANH-CANL	总线状态	RXD 输出
T 24. LH _ L	V <sub>OD</sub> ≥0.9V	显性	L
正常模式 和静音模式	$0.9V > V_{OD} > 0.5V$	?	?
和拼 日 沃风	V <sub>OD</sub> ≤0.5V	隐性	Н
	V <sub>OD</sub> ≥1.15V	显性	
待机模式和休眠模式	1.15V>V <sub>OD</sub> >0.4V	?	H, 当出现唤醒标志时为 L
	$V_{OD} \leq 0.4V$	隐性	二田%·汉胜你心时/9°E

注: H=高电平; L=低电平; ?=不确定; 电源正常供电。

# 内部标志信号

标志信号	出现原因	   外部指示 	标志信号清除	备注
上电标志	VBAT 上电	进入静音模式(从待 机模式,休眠模式) ERRN=L	进入正常模式	
唤醒请求标志	远程唤醒,本地唤 醒,初始上电	进入待机模式或休眠 模式 ERRN=RXD=L	进入正常工作模式, VCC 或 VIO 欠压	
唤醒源标志(1)	远程唤醒,本地唤 醒,初始上电	进入正常模式: ERRN=L 指示本地唤 醒	离开正常模式,VCC 或 VIO 欠压	上电标志的建立会重置 唤醒源标志
本地错误标志	TXD 显性超时	当从正常工作模式进 入静音模式 ERRN=L	RXD=L&TXD=H 或 进入正常工作模式	一旦出现 TXD 显性超时,驱动器将被禁能



标志信号	出现原因	外部指示	标志信号清除	备注
	TXD 短路至 RXD			一旦出现 TXD 短路至 RXD,驱动器将被禁能
	总线显性超时		RXD= H;进入正常 工作模式	出现总线超时,驱动器 仍在使能状态
	过温保护		结温恢复正常并且 RXD=L&TXD=H;结 温恢复正常并且重新 跳转至正常工作模式	一旦出现过温状态,驱 动器将被禁能

#### (1) 唤醒源标志仅会识别第一个唤醒请求信号;

设备通过上述一系列标志信号进行系统诊断,并指示失效原因。MCU 可以通过一些模式切换和 收发器芯片 ERRN 和 RXD 引脚的指示来判断系统内部工作状态或失效原因。

#### 上电标志

上电标志特指电池电源 VBAT 的上电事件。当 VBAT 从低于 V<sub>UVDVBAT</sub> 的电压恢复到正常工作电压时,上电标志会被设置,一旦器件从待机模式或者休眠模式进入静音模式,ERRN 会被拉低,以此指示上电标志已设置。当进入正常工作模式,上电标志会被清除。上电标志设置唤醒请求标志和唤醒源标志。

### 唤醒请求标志

SIT1463Q 可通过两种方式实现低功耗唤醒功能: 本地唤醒和远程唤醒。

#### 本地唤醒

SIT1463Q 通过 WAKE 端口实现本地唤醒的功能,在待机模式或者休眠模式下,只要 WAKE 引脚出现有效的上升沿或者下降沿,即被检测为本地唤醒事件:

有效的上升沿指 WAKE 端口的电压从低于  $V_{th(WAKE)}$ 的电压跳转至高于  $V_{th(WAKE)}$ 的电压,并且此跳转的持续时间大于  $t_{wake(local)}$ ,即可被认为是有效的上升沿,如图 4 所示;有效的下降沿指 WAKE 端口的电压从高于  $V_{th(WAKE)}$ 的电压跳转至低于  $V_{th(WAKE)}$ 的电压,并且此跳转的持续时间大于  $t_{wake(local)}$ ,即可被认为是有效的下降沿,如图 5 所示。任何持续时间小于  $t_{wake(local)}$ 的跳转以及未跨越阈值电压  $V_{th(WAKE)}$ 的跳转都将会被滤除。

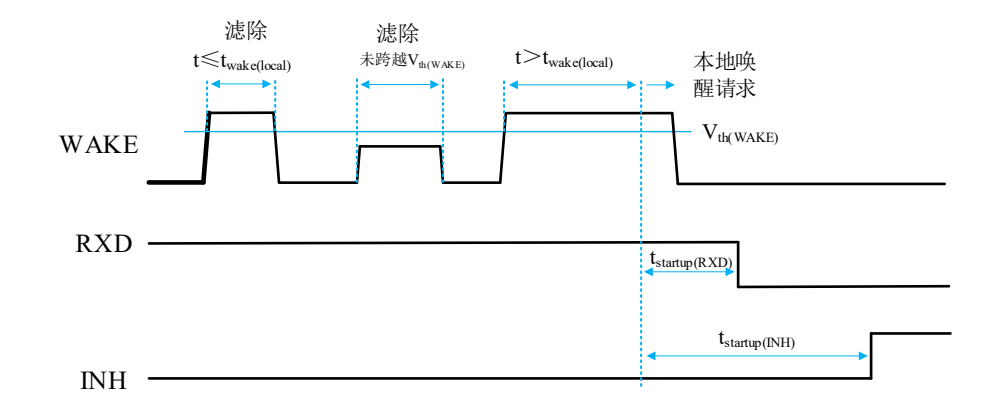


图 4 WAKE 上升沿本地唤醒示意图



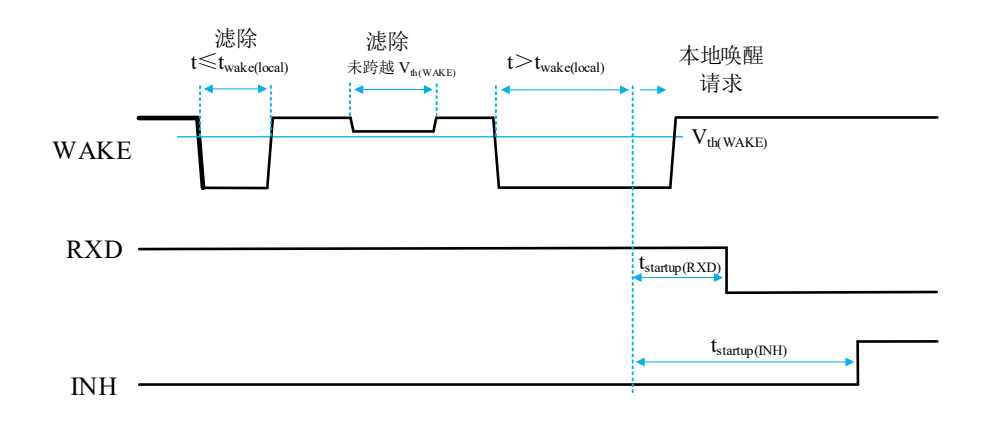


图 5 WAKE 下降沿本地唤醒示意图

#### 远程唤醒

SIT1463Q 通过低功耗接收器实现远程唤醒功能来通知 MCU 总线已被激活,节点应恢复正常工作。在休眠模式下,出现一帧有效的远程唤醒请求信号 (WUP),器件即被唤醒,并跳转至待机模式,tstartup(RXD)后,RXD 会被拉低,tstartup(INH)后,INH 被拉高。

根据 ISO 11898-2:2016,完整的 WUP 包括: 一段已过滤的显性电平(持续时间大于  $t_{wake(dom)}$ ),一段已过滤的隐性电平(持续时间大于  $t_{wake(rec)}$ )和另一段已过滤的显性电平(持续时间大于  $t_{wake(dom)}$ )。此段显性-隐性-显性电平信号必须在  $t_{wake(timeout)}$ 时间内出现,否则内部的唤醒逻辑将被复位,并重新开始对总线的监测。

RXD 引脚将一直保持高电平直到唤醒事件被触发,上述提到的显性电平和隐性电平如果持续时间低于 twake(busdom)和 twake(busrec)都会被忽略(滤除),如果在接收到有效的唤醒模式时发生以下任何一个事件,都不会响应唤醒事件:

- (1) 器件切换到正常工作模式;
- (2) 完整的唤醒请求帧没有在 twake(timeout)内被接收到;
- (3) 检测到 VCC 或 VIO 欠压 (UVD<sub>NOM</sub> 标志信号被设置)。

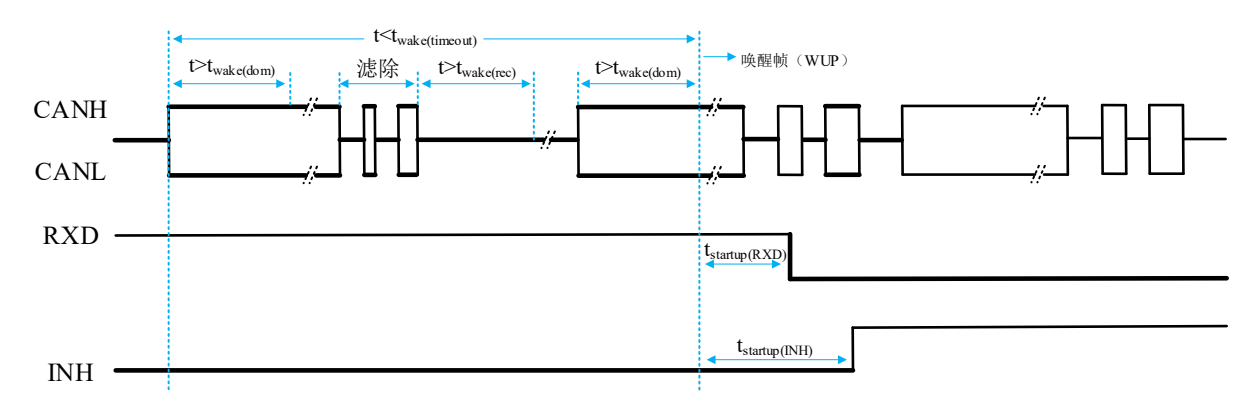


图 6 远程唤醒示意图

#### 唤醒源标志

SIT1463Q 通过唤醒源标志可识别出唤醒源,唤醒源标志可以在芯片进入正常模式时,通过 ERRN 引脚的电平来表示。若通过 WAKE 引脚给予的本地唤醒请求产生唤醒标志,则跳转至正常工作模式后,ERRN 引脚表现为低电平。芯片离开正常工作模式的同时也会清除唤醒源标志。这个标志也会在



初始上电时产生。

#### 本地错误标志

SIT1463Q 可检测四种本地错误事件: TXD 显性超时, TXD 与 RXD 短路, 总线显性超时, 过温 保护。只要其中的任何一种事件的发生,都会生成一个本地错误标志,当器件从正常工作模式跳转至 静音模式时, ERRN 会被拉低, 从而指示出现了本地错误标志。

#### TXD 显性超时

在正常工作模式下,如果引脚 TXD 上的低电平持续时间超过内部定时器值 tdom(TXD),发送器将被 禁用,驱动总线进入隐性状态。可防止引脚 TXD 因硬件或软件应用故障而被强制为永久低电平导致 总线线路被驱动至永久显性状态 (阻塞所有网络通信)。

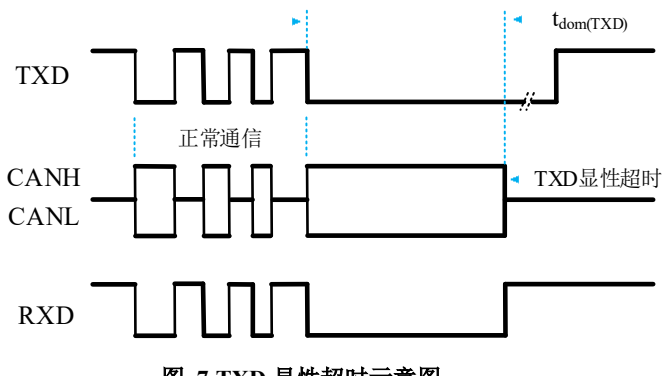


图 7 TXD 显性超时示意图

#### TXD与RXD短路

SIT1463Q 具有 TXD 与 RXD 短路的保护功能,可避免本地器件出现周期性的死锁情况。在正常 工作模式或者静音模式下,如果器件的 TXD 与 RXD 发生了短路情况,并且短路的持续时间超过 tdom(TXD),则器件会认为发生了TXD与RXD的短路情况,本地错误标志建立,驱动器将被禁能。

#### 总线显性超时

当总线出现短路情况时,如果总线出现持续时间大于内部定时器值 tdom(BUS)的显性电平,会被认 定为出现总线显性超时事件,本地错误标志建立。

#### 过温保护

SIT1463Q 具有过温保护功能,如果器件结温超过过温关断温度 T<sub>i(sd)</sub>,总线驱动器电路将会被关 断,从而阻断 TXD 到总线的传输路径,所以在热关断期间 CAN 总线的电平会被偏置在隐性状态,同 时芯片的其它部分仍然保持正常工作。因为驱动管是主要的耗能部件, 所以关断驱动管可以降低功耗 从而降低芯片温度。



### 直流参数

在推荐的工作条件下进行测试: VBAT=4.5V 至 40V、VCC=4.5V 至 5.5V、VIO=1.7V 至 5.5V、 $T_{amb}$ =-40°C 至 125°C。如无另外说明,所有的典型值均在  $T_{amb}$ =25°C、电源电压 VBAT=12V、VCC=5V、VIO=5V、 $R_L$ =60Ω 的条件下测得。

参数	符号	测试条件	最小	典型	最大	単位
VBAT 供电特性		<u> </u>		Į	Į	<u>l</u>
VBAT 供电电压	VBAT		4.5		40	V
		正常工作模式 或者静音模式		60	100	μА
VBAT 供电电流	$I_{BAT}$	待机模式		18	28	μΑ
		休眠模式		16	26	μΑ
	**	VBAT 欠压阈值	4		4.4	V
VBAT 欠压检测	V <sub>UVD(VBAT)</sub>	VBAT 欠压恢复阈值	4.1		4.5	V
VCC 供电特性						•
VCC 供电电压	VCC		4.5		5.5	V
	Icc	正常工作显性 TXD=0V		42	70	mA
		正常工作隐性 TXD=VIO		4.3	7	mA
VCC 供电电流		静音模式		4.3	7	mA
		正常工作显性, TXD=0V,总线短路, -3V<(CANH=CANL)<40V			125	mA
		待机或休眠模式			3.5	μА
NGC 左下松河	37	VCC 欠压阈值	3.5	3.8		V
VCC 欠压检测	V <sub>UVD(VCC)</sub>	VCC 欠压恢复阈值		4	4.2	V
VIO 供电特性						
VIO 供电电压	VIO		1.7		5.5	V
		正常工作显性,TXD=0V		110	250	μΑ
VIO 供电电流	$I_{\mathrm{IO}}$	正常工作隐性或静音模 式,TXD=VIO			5	μА
		待机或休眠模式, TXD=VIO	2.5	μΑ		
WO を日本知	V	VIO 欠压阈值	1.4			V
VIO 欠压检测	V <sub>UVD(VIO)</sub>	VIO 欠压恢复阈值			1.65	V



参数	符号	测试条件	最小	典型	最大	单位
TXD 端口特性					•	
TXD 端口高电平 输入电流	I <sub>IH(TXD)</sub>	TXD=VIO	-1		1	μΑ
TXD 端口低电平 输入电流	I <sub>IL(TXD)</sub>	TXD=0V	-150		20	μΑ
上拉电阻	$R_{pu}$		20		80	kΩ
未上电时 TXD 的漏电流	$I_{\text{off}(TXD)}$	VIO=0V, TXD=5.5V	-1		1	μΑ
输入高电平下限	$V_{\mathrm{IH}}$		0.7VIO		VIO+0.3	V
输入低电平上限	$V_{IL}$		-0.3		0.3VIO	V
输入电容 <sup>(1)</sup>	Ci				10	pF
悬空逻辑电平	TXDo			Н		logic
RXD 端口特性		•				
RXD 端口高电平 输出电流	I <sub>OH(RXD)</sub>	RXD=VIO-0.4V	-10	-5	-1	mA
RXD 端口低电平 输出电流	I <sub>OL(RXD)</sub>	RXD=0.4V	1	5	10	mA
STBN 端口特性		•				
STBN 端口高电平 输入电流	I <sub>IH(STBN)</sub>	STBN=VIO	20		110	μΑ
STBN 端口低电平 输入电流	I <sub>IL(STBN)</sub>	STBN=0V	-1		1	μΑ
下拉电阻	R <sub>pu</sub>		20		80	kΩ
未上电时 STBN 的漏电流	I <sub>off(STBN)</sub>	VIO=0V, STBN=5.5V	-1		1	μΑ
输入高电平下限	$V_{\mathrm{IH}}$		0.7VIO		VIO+0.3	V
输入低电平上限	$V_{IL}$		-0.3		0.3VIO	V
输入电容 <sup>(1)</sup>	Ci				10	pF
悬空逻辑电平	STBo			L		logic
EN 端口特性		•				
EN 端口高电平输入电流	I <sub>IH(EN)</sub>	EN=VIO	20		110	μΑ
EN 端口低电平输入电流	I <sub>IL(EN)</sub>	EN=0V	-1		1	μΑ
下拉电阻	$R_{pu}$		20		80	kΩ
未上电时 EN 的漏电流	I <sub>off(EN)</sub>	VIO=0V, EN=5.5V	-1		1	μΑ
输入高电平下限	$V_{\mathrm{IH}}$		0.7VIO		VIO+0.3	V
输入低电平上限	$V_{IL}$		-0.3		0.3VIO	V
输入电容 <sup>(1)</sup>	Ci				10	pF





参数	符号	测试条件	最小	典型	最大	单位
悬空逻辑电平	ENo			L		logic
ERRN 端口特性	•					•
ERRN 端口高电平 输出电流	Ioh(errn)	ERRN=VIO-0.4V	-50		-4	μА
ERRN 端口低电平 输出电流	Iol(errn)	ERRN=0.4V	0.1		2	mA
INH 端口特性						•
INH 端口高电平	$\triangle V_{H}$	$\Delta V_H = V_{BAT}$ -INH; INH =-1mA	0		1	V
压差	2.14	$\Delta V_{H}=V_{BAT}-INH;$ $INH=-2mA$	0		2	V
INH 端口漏电流	$I_L$	休眠模式或关断模式	-2	0	2	μΑ
短路输出电流	$I_{O(sc)}$	V <sub>INH</sub> =0V	-15			mA
WAKE 端口特性						
WAKE 端口高电平 输入电流	I <sub>IH</sub> (WAKE)	WAKE>2.6V	-8	-4	-2	μА
WAKE 端口低电平 输入电流	Iil(wake)	WAKE<1.8V	2	4	8	μА
高电平输入电压	$V_{\mathrm{IH}}$		1.9	2.3	2.6	V
低电平输入电压	$V_{\rm IL}$		1.8	2.2	2.5	V
WAKE 引脚迟滞电压	Vhys			100		mV
总线; CANH 和 CANL 站						
CANH 输出电压 (显性)	V <sub>OH(D)</sub>	正常工作模式,	2.75	3.5	4.5	V
CANL 输出电压 (显性)	V <sub>OL(D)</sub>	TXD=0V, $R_L$ =50 $\Omega$ 至 65 $\Omega$	0.5	1.5	2.25	V
		正常工作模式, TXD=0V, R <sub>L</sub> =50Ω 至 65Ω	1.5		3	V
总线输出差分电压 (显性)	V <sub>OD(D)</sub>	正常工作模式, TXD=0V, R <sub>L</sub> =45Ω 至 70Ω	1.4		3.3	V
		正常工作模式, TXD=0V, R <sub>L</sub> =2240Ω	1.5		5	V
总线输出电压(隐性)	V <sub>O(R)</sub>	正常工作模式 或静音模式, TXD=VIO, 无负载	2	0.5VCC	3	V





参数	符号	测试条件	最小	典型	最大	单位
总线差分输出电压 (隐性)	V <sub>OD(R)</sub>	正常工作模式 或静音模式, TXD=VIO,无负载	-500		50	mV
总线输出电压 (总线偏置到地)	V <sub>O(S)</sub>	休眠模式或待机模式, 无负载	-0.1		0.1	V
总线差分输出电压 (总线偏置到地)	V <sub>OD(S)</sub>	休眠模式或待机模式, 无负载	-0.2		0.2	V
显性输出电压对称性	$V_{\text{dom}(TX)\text{sym}}$	V <sub>dom(TX)sym</sub> =VCC- CANH - CANL	-400		400	mV
输出电压对称性 (1)	V <sub>TXsym</sub>	$V_{TXsym}$ = CANH + CANL, $R_L$ = $60\Omega$ , $C_{SPLIT}$ = $4.7nF$ , $f_{TXD}$ = $250kHz$ 、 $1MHz$ 或 $2.5MHz$	0.9V <sub>CC</sub>		1.1Vcc	V
显性隐性共模 输出电压差	V <sub>cm(step)</sub>	图 10,图 13	-150		150	mV
显性隐性共模 峰峰值 <sup>(1)</sup>	V <sub>cm(p-p)</sub>	图 10,图 13	-300		300	mV
显性短路输出电流	I	正常模式,TXD=0V, CANH=-15V 至 40V	-100	-70		mA
业性难价制品电机	Io(sc)dom	正常模式,TXD=0V, CANL=-15V 至 40V		70	100	mA
隐性短路输出电流	Io(sc)rec	正常模式,TXD=VIO, CANH=CANL=-27V 至 32V	-3		3	mA
接收器差分阈值电压	$V_{ ext{th}(RX) ext{dif}}$	正常模式 或静音模式, -30V≤V <sub>CM</sub> ≤30V	0.5		0.9	V
		待机模式或睡眠模式, -12V≤V <sub>CM</sub> ≤12V	0.4		1.15	V
接收器阈值电压 迟滞区间	V <sub>hys(RX)dif</sub>	正常模式或静音模式, -30V≤V <sub>CM</sub> ≤30V	50	120	400	mV
· · · · · · · · · · · · · · · · · · ·	v	正常模式或静音模式, -30V≤V <sub>CM</sub> ≤30V	-3		0.5	V
接收器隐性电压区间	V <sub>rec(RX)</sub>	待机模式或休眠模式, -12V≤V <sub>CM</sub> ≤12V	-3		0.4	V
		正常模式或者静音模式, -30V < V <sub>CM</sub> < 30V	0.9		8	V
接收器显性电压区间	$V_{\text{dom(RX)}}$	待机模式或休眠模式, -12V≤V <sub>CM</sub> ≤12V	1.15		8	V



参数	符号	测试条件	最小	典型	最大	单位
总线漏电流	$I_{L}$	VCC=VIO=VBAT=0V,	-5		5	μΑ
CANH、CANL 输入电阻	R <sub>IN</sub>	CANH=CANL=5V  -2V≤CANH≤7V  -2V≤CANL≤7V	25	40	50	kΩ
CANH、CANL 差分 输入电阻	$R_{i(\text{diff})}$	-2V≤CANH≤7V -2V≤CANL≤7V	50	80	100	kΩ
CANH、CANL 输入 电阻失配度	$\triangle R_{ m IN}$	0V≤CANH≤5V 0V≤CANL≤5V	-2		2	%
CANH、CANL 对地 输入电容 <sup>(1)</sup>	$C_{\mathrm{IN}}$	TXD=VIO			40	pF
CANH、CANL 差分 输入电容 <sup>(1)</sup>	C <sub>ID</sub>	TXD=VIO			20	pF
显性段的差分 输入电阻 <sup>(1)</sup>	R <sub>ID(dom)</sub>	图 11		40		Ω
主动隐性段的差分 输入电阻 <sup>(1)</sup>	R <sub>ID(active_rec)</sub>	图 11		60		Ω
信号改善功能和 CAN FD	器件特性(CiA	A601-4:2019)				
SIC 时间		TXD 至 SIC 结束			530	ns
发送器隐性位宽	$\Delta t_{bit(BUS)}$	$\Delta t_{\text{bit(BUS)}} = t_{\text{bit(BUS)}} - t_{\text{bit(TXD)}}$	-10		10	ns
位脉冲宽度对称性	$\Delta t_{rec}$		-20		15	ns
接收器隐性位宽偏差	$\Delta t_{bit(RXD)}$	$\Delta t_{\text{bit(RXD)}} = t_{\text{bit(RXD)}} - t_{\text{bit(TXD)}}$	-30		20	ns
过温保护 (1)						
		过温保护	180	190	205	°C
过温关断	T <sub>j(sd)</sub>	过温恢复	160	170	185	°C
		过温迟滞		20		°C



交流参数

如无另外说明,所有的典型值均在  $T_{amb}$ =25°C、电源电压 VBAT=12V、VCC =5V、VIO=5V、 $R_L$ =60 $\Omega$ 、 $C_{BUS}$ =100pF、 $C_{RXD}$ =15pF 的条件下测得。

参数	符号	测试条件	最小	典型	最大	单位
驱动器交流特性					•	•
传播延时(低到高)	$t_{d(TXD\text{-}busdom)}$	正常模式, 图 8,图 12			80	ns
传播延时(高到低)	$t_{d(TXD\text{-busrec})}$	正常模式, 图 8,图 12			80	ns
差分输出上升时间	$t_{r(\mathrm{BUS})}$			35		ns
差分输出下降时间	$t_{f(BUS)}$			35		ns
TXD 显性超时时间	t <sub>dom(TXD)</sub>	TXD=0, 正常模式,图 7	0.8	2	4	ms
总线显性超时时间	$t_{\rm dom(BUS)}$	V <sub>OD</sub> >0.9V; 正常或静音模式	0.8	2	4	ms
接收器交流特性						
从总线显性到 BUS 的传播延迟	td(busdom-RXD)	正常模式或静音模式, 图 8,图 12			110	ns
从总线隐性到 RXD 的传播延迟	td(busrec-RXD)	正常模式或静音模式, 图 8,图 12			110	ns
RXD 信号上升时间	$t_{r(RXD)} \\$	正常模式或静音模式		8		ns
RXD 信号下降时间	t <sub>f(RXD)</sub>	正常模式或静音模式		8		ns
TXD 至 RXD 环路延迟						
环路延迟 1,TXD 下降沿至 RXD 下降沿	t <sub>loop1</sub>	正常模式, 图 8,图 12	40		190	ns
环路延迟 2,TXD 上升沿至 RXD 上升沿	t <sub>loop2</sub>	正常模式, 图 8,图 12	40		190	ns
CAN FD 位时间 <sup>(2)</sup>						
		t <sub>bit(TXD)</sub> =500ns,图 9	490		510	ns
BUS 输出位时间	tbit(BUS)	t <sub>bit(TXD)</sub> =200ns,图 9	190		210	ns
		t <sub>bit(TXD)</sub> =125ns,图 9	115		135	ns
		t <sub>bit(TXD)</sub> =500ns,图 9	470		520	ns
RXD 输出位时间	$t_{bit(RXD)}$	t <sub>bit(TXD)</sub> =200ns,图 9	170		220	ns
		t <sub>bit(TXD)</sub> =125ns,图 9	95		145	ns
BUS 与 RXD 输出	$\Delta t_{rec}$	$\Delta t_{rec} = t_{bit(RXD)}$ - $t_{bit(BUS)}$ ,	-20		15	ns



参数	符号	测试条件	最小	典型	最大	单位
位时间差		t <sub>bit(TXD)</sub> =500ns				
		$\Delta t_{rec} = t_{bit(RXD)} - t_{bit(BUS)},$ $t_{bit(TXD)} = 200ns$	-20		15	ns
		$\Delta t_{rec} = t_{bit(RXD)} - t_{bit(BUS)},$ $t_{bit(TXD)} = 125 ns$	-20		15	ns
器件开关特性						
远程唤醒显性时间	twake(dom)	休眠模式或待机模式	0.5		1.8	μs
远程唤醒隐性时间	twake(rec)	休眠模式或待机模式	0.5		1.8	μs
远程唤醒超时时间	$t_{wake(timeout)}$	休眠模式或待机模式	0.8		4	ms
模式转换时间	t <sub>t(moch)</sub>				50	μs
启动时间	$t_{\mathrm{startup}}$				1.5	ms
RXD 启动时间	t <sub>startup(RXD)</sub>		4		20	μs
INH 启动时间	t <sub>startup</sub> (INH)		4		50	μs
进入休眠保持时间	$t_{h(gotosleep)}$		24		50	μs
模式切换到 ERRN 的延迟时间 <sup>(1)</sup>	$t_{d(moch\text{-}ERRN)}$				20	μs
本地唤醒时间(1)	twake(local)	休眠模式或待机模式	5		50	μs
STBN 和 EN 端口 的滤波时间 <sup>(1)</sup>	tfilter_IO		1		10	μs
	t <sub>det(uv)</sub> VBAT	VBAT 引脚 (1)			30	μs
	t <sub>det(uv)</sub> VCC	VCC 引脚(1)			30	μs
欠压检测时间	t <sub>det(uv)</sub> vcc	VIO 引脚 <sup>(1)</sup>			30	μs
	tdet(uvlong)VCC	VCC 引脚	100		150	ms
	t <sub>det(uvlong)</sub> VIO	VIO 引脚	100		150	ms
万压标复叶语	t <sub>rec(uv)</sub> VCC	VCC 引脚(1)			50	μs
欠压恢复时间	trec(uv)VIO	VIO 引脚 <sup>(1)</sup>			50	μs

<sup>(1)</sup> 设计保证,非生产测试数据。

<sup>(2) 8</sup>Mbit/s 延时测试, VIO=2.8V~5.5V。



# ESD 性能

参数	符号	测试条件	最小	典型	最大	单位
		CANH, CANL 引脚	-6		+6	kV
接触放电模型 (IEC) <sup>(1)</sup>	$ m V_{ESD\_IEC}$	VBAT 引脚(带 10nF 电容); WAKE 引脚(带 33kΩ 电阻)	-8		+8	kV
人体放电模型 (HBM) <sup>(2)</sup>	$V_{ESD\_HBM}$	所有端口	-8		+8	kV
组件充电模型 (CDM) <sup>(3)</sup>	V <sub>ESD_CDM</sub>	所有端口	-1500		+1500	V

- (1) IEC 61000-4-2;
- (2) AEC-Q100-002;
- (3) AEC-Q100-011.

## 波形时序图

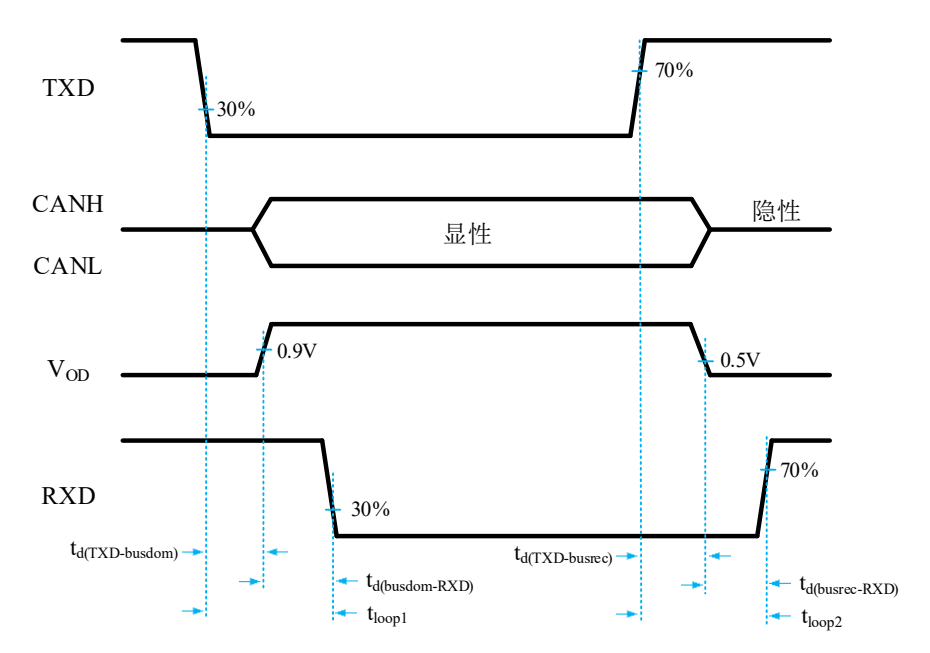


图 8 收发器传输延时示意图

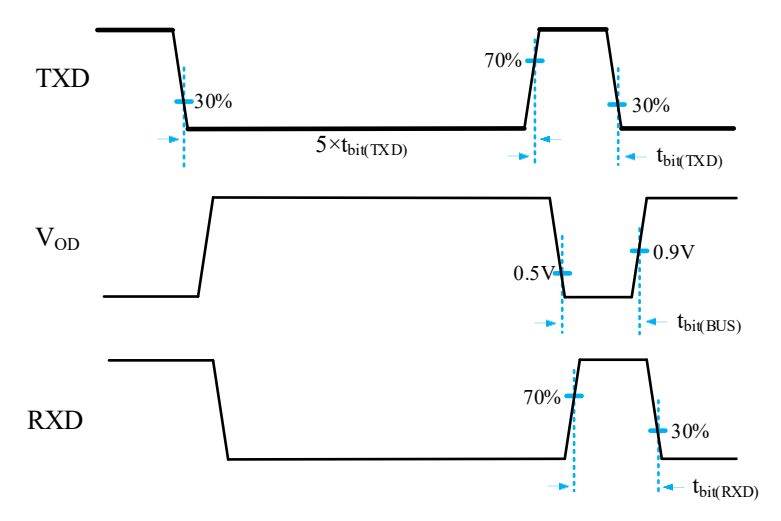


图 9 tbit 延时示意图

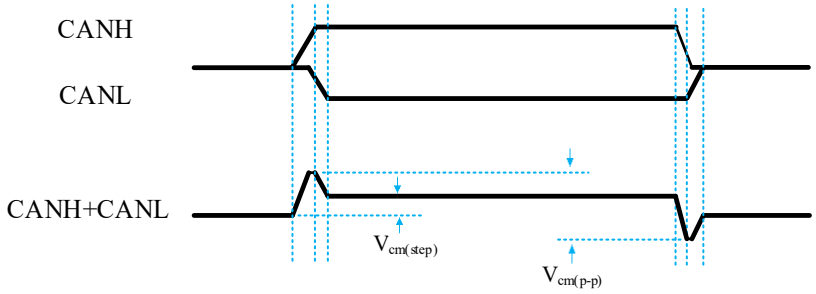


图 10 总线共模电压 (SAE 1939-14)

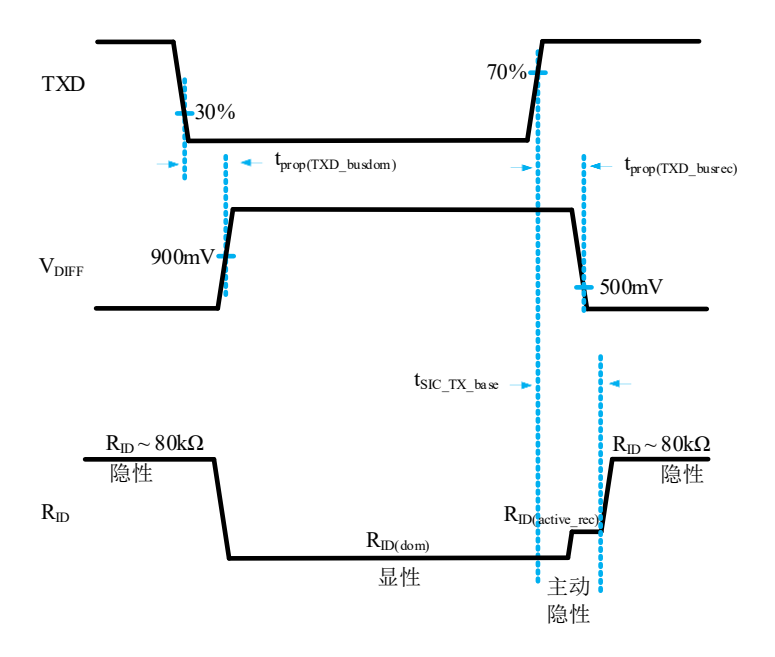


图 11 基于 TXD 的信号改善功能

## 收发器测试电路

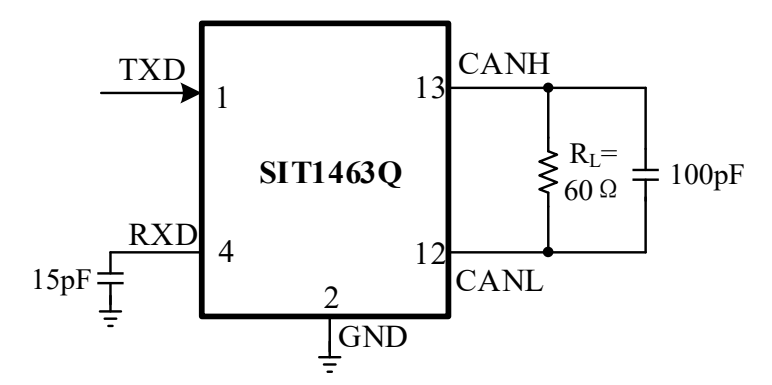


图 12 收发器时序测试电路图

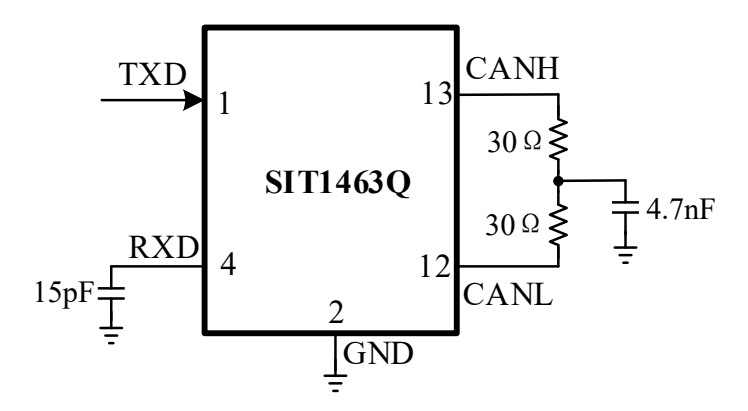


图 13 收发器总线对称性测试电路图



### 典型应用

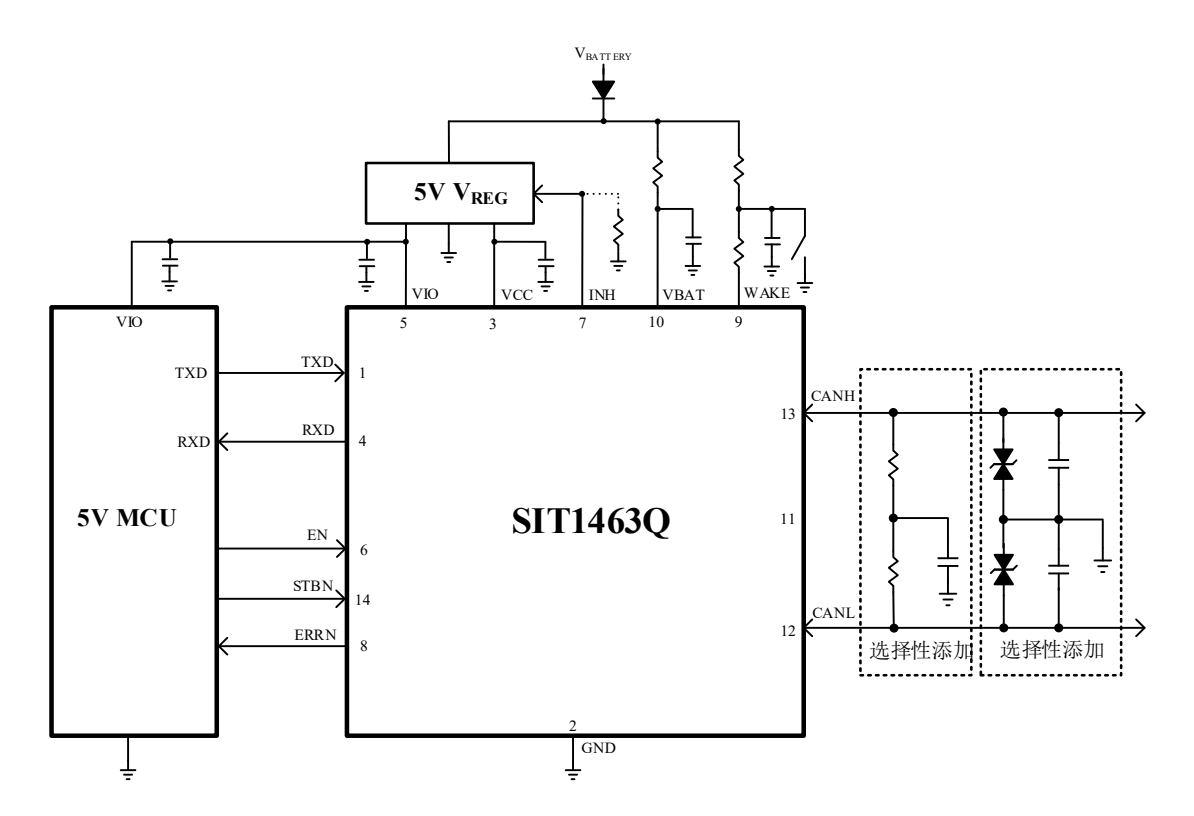


图 14 SIT1463Q 与 5V MCU 的典型应用图

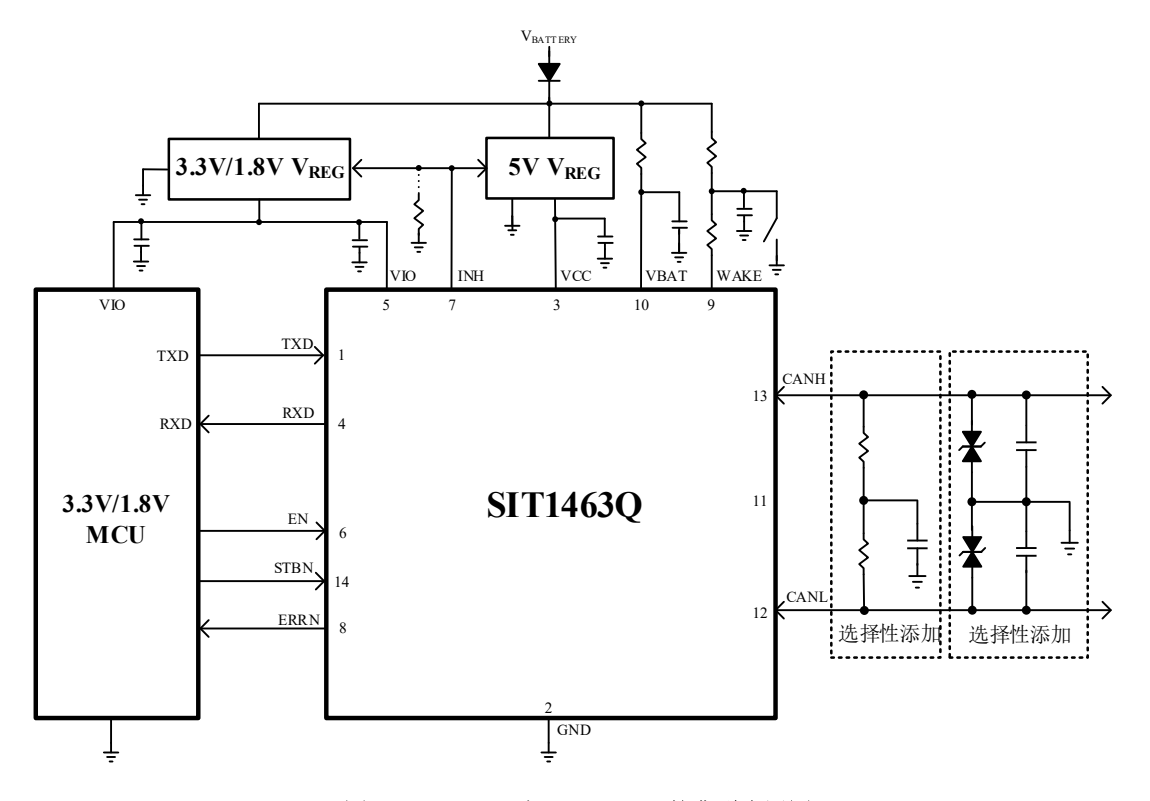


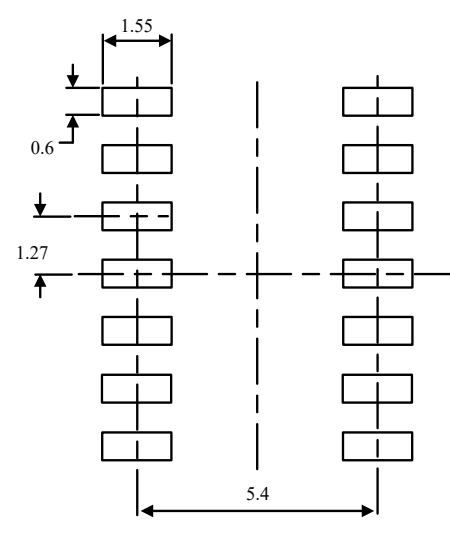
图 15 SIT1463Q 与 3.3V MCU 的典型应用图



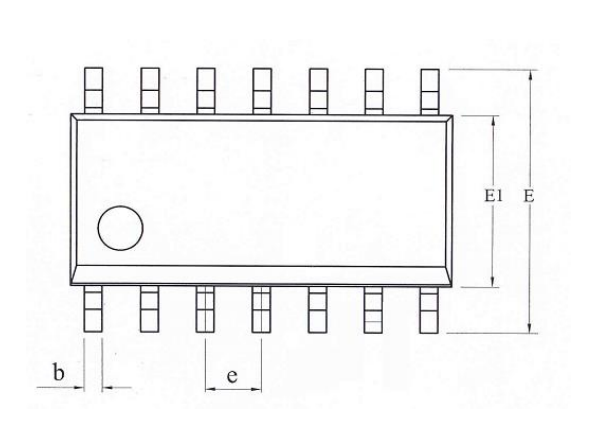
## SOP14 外形尺寸

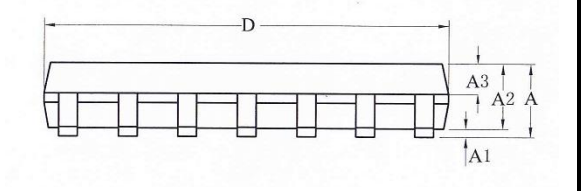
### 封装尺寸

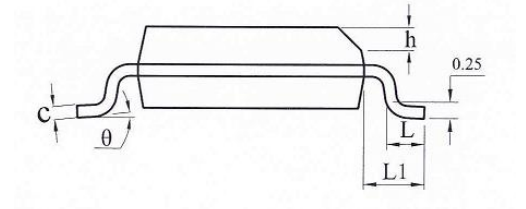
11夜八寸						
SYMBOL	M	MILLIMETER				
STMBOL	MIN	NOM	MAX			
A	1	-	1.75			
A1	0.05	-	0.225			
A2	1.30	1.40	1.50			
A3	0.60	0.65	0.70			
b	0.39	-	0.47			
bl	0.38	0.41	0.44			
С	0.20	-	0.24			
c1	0.19	0.20	0.21			
D	8.55	8.65	8.75			
Е	5.80	6.00	6.20			
E1	3.80	3.90	4.00			
e		1.27BSC				
h	0.25	-	0.50			
L	0.50	-	0.80			
L1	1.05REF					
θ	0	-	8°			



LAND PATTERN EXAMPLE (Unit: mm)

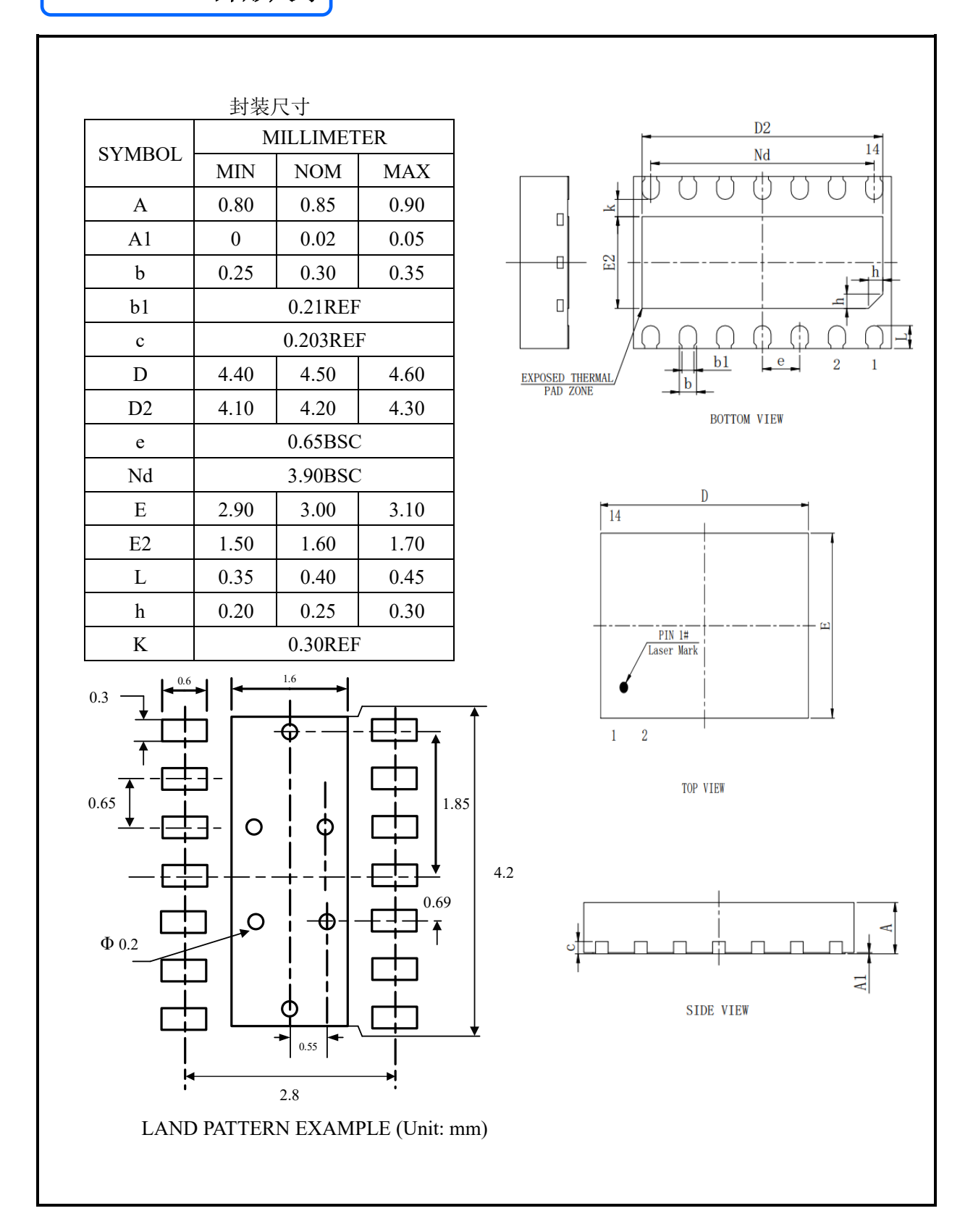






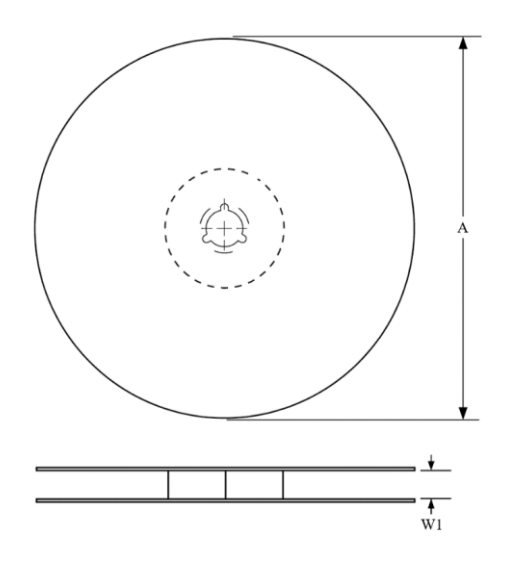


### DFN4.5×3-14 外形尺寸

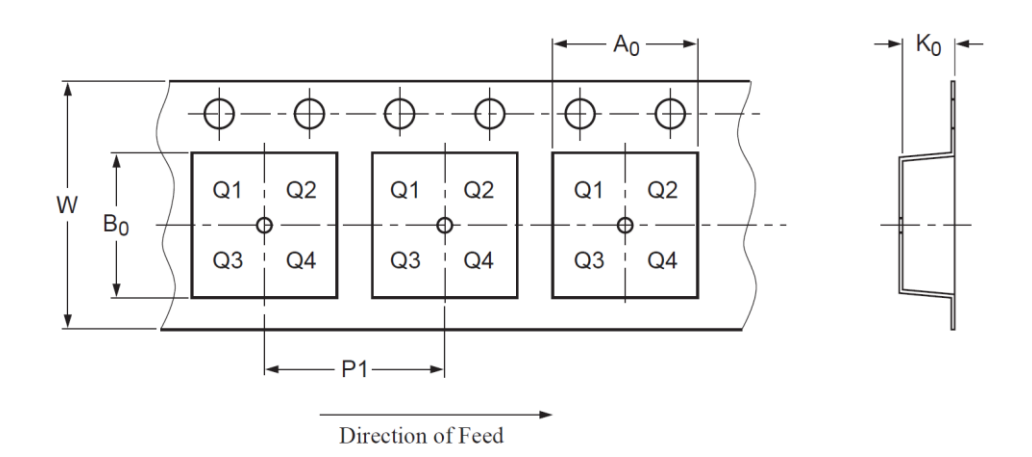




## 编带信息



A0	Dimension designed to accommodate the
	component width
В0	Dimension designed to accommodate the
	component length
K0	Dimension designed to accommodate the
	component thickness
W	Overall width of the carrier tape
P1	Pitch between successive cavity centers



PIN1 is in quadrant 1

封装类型	卷盘直径	编带宽度	A0	В0	K0	P1	W
<b>刊</b> 表天空	A (mm)	W1 (mm)	(mm)	(mm)	(mm)	(mm)	(mm)
SOP14	330±1	12.4	$6.50^{+0.20}_{-0.1}$	$9.30^{+0.20}_{-0.1}$	2.0±0.10	8.00±0.1	16.00±0.10
DFN4.5×3-14	329±1	12.4	3.75±0.1	4.25±0.1	1.00±0.1	8.00±0.1	12.00±0.3

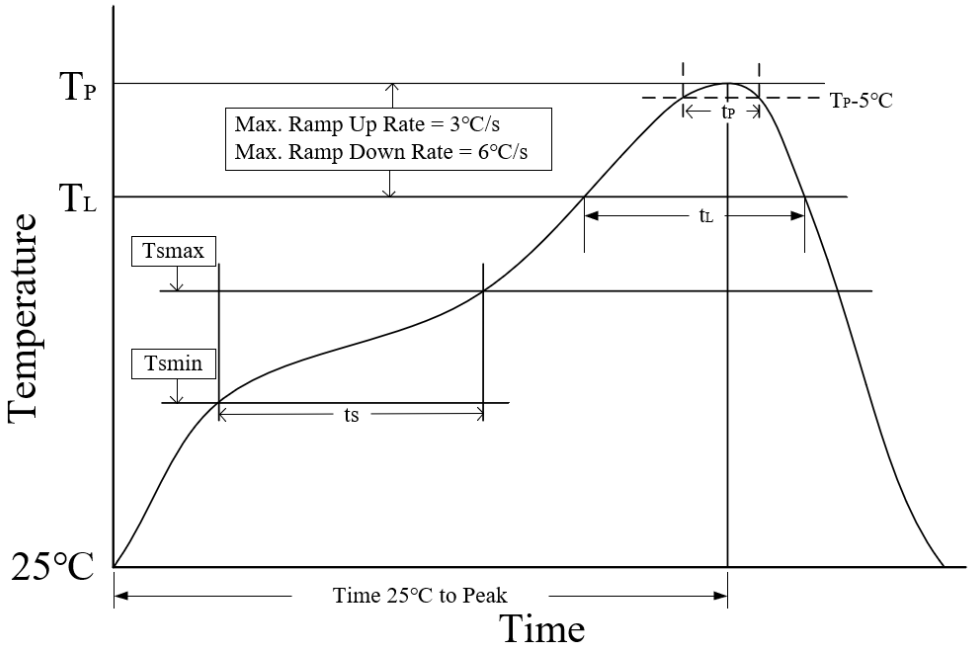


# 定购信息

定购代码	封装	MSL	包装方式
SIT1463QT	SOP14	MSL3	盘装编带
SIT1463QTK	DFN4.5×3-14	MSL1	盘装编带

SOP14 编带式包装为 2500 颗/盘, DFN4.5×3-14 为 3000 颗/盘。

回流焊



参数	无铅焊接条件
平均温升速率(T <sub>L</sub> to T <sub>P</sub> )	3 °C/second max
预热时间 ts(T <sub>smin</sub> =150 ℃ to T <sub>smax</sub> =200 ℃)	60-120 seconds
融锡时间 t <sub>L</sub> (T <sub>L</sub> =217 ℃)	60-150 seconds
峰值温度 TP	260-265 ℃
小于峰值温度 5 ℃以内时间 t <sub>P</sub>	30 seconds
平均降温速率(T <sub>P</sub> to T <sub>L</sub> )	6 °C/second max
常温 25℃ 到峰值温度 T <sub>P</sub> 时间	8 minutes max

### 重要声明

芯力特有权在不事先通知的情况下,保留因技术革新而更改上述资料的权利。



# 修订历史

版本号	修订内容	修订时间
V1.0	初始版本	2024.06
V1.1	增加 AEC-Q100 Grade 1 认证; 增加 ESD 信息。	2024.12
V1.2	新增热阻信息; 修正图 3; 修正 DFN4.5*3-14 "LAND PATTERN EXAMPLE"示意图。	2025.07